

4. ผลการทดลอง

4.1 ผลการสังเคราะห์และการพิสูจน์ออกลักษณ์ของตัวเร่งปฏิกิริยา

เทคนิค ICP

เมื่อนำสาร LDH ที่สังเคราะห์โดยใช้ภาวะที่ต่างกัน คือสัดส่วน M^{2+}/M^{3+} เวลาในการกรุน และ pH ที่ต่างกัน มาวิเคราะห์ด้วยเทคนิคต่างๆ พนบว่า ผลจากการวิเคราะห์ปริมาณโลหะด้วยเทคนิค ICP (แสดงในตารางที่ 1) แสดงผลดังนี้

- สัดส่วนโดยไม่ของโลหะ M^{2+}/M^{3+} ใน LDH ใกล้เคียงกับที่ใช้ผสมในสารละลายที่เตรียม
- สัดส่วนโดยไม่ของโลหะ M^{2+}/M^{3+} ใน LDH จะสูงขึ้น เมื่อใช้ M^{2+} มากขึ้น
- สัดส่วนโดยไม่ของโลหะ M^{2+}/M^{3+} ใน LDH ไม่แตกต่างกัน แม้ใช้ pH ในการสังเคราะห์ต่างกัน (10 หรือ 12)
- สัดส่วนโดยไม่ของโลหะ M^{2+}/M^{3+} ใน LDH ไม่แตกต่างกัน แม้ใช้เวลาในการสังเคราะห์ต่างกัน (9 หรือ 18 ชั่วโมง)
- องค์ประกอบเคมีของสาร LDH เป็น $MAI(OH)_2(CO_3)_n \cdot mH_2O$

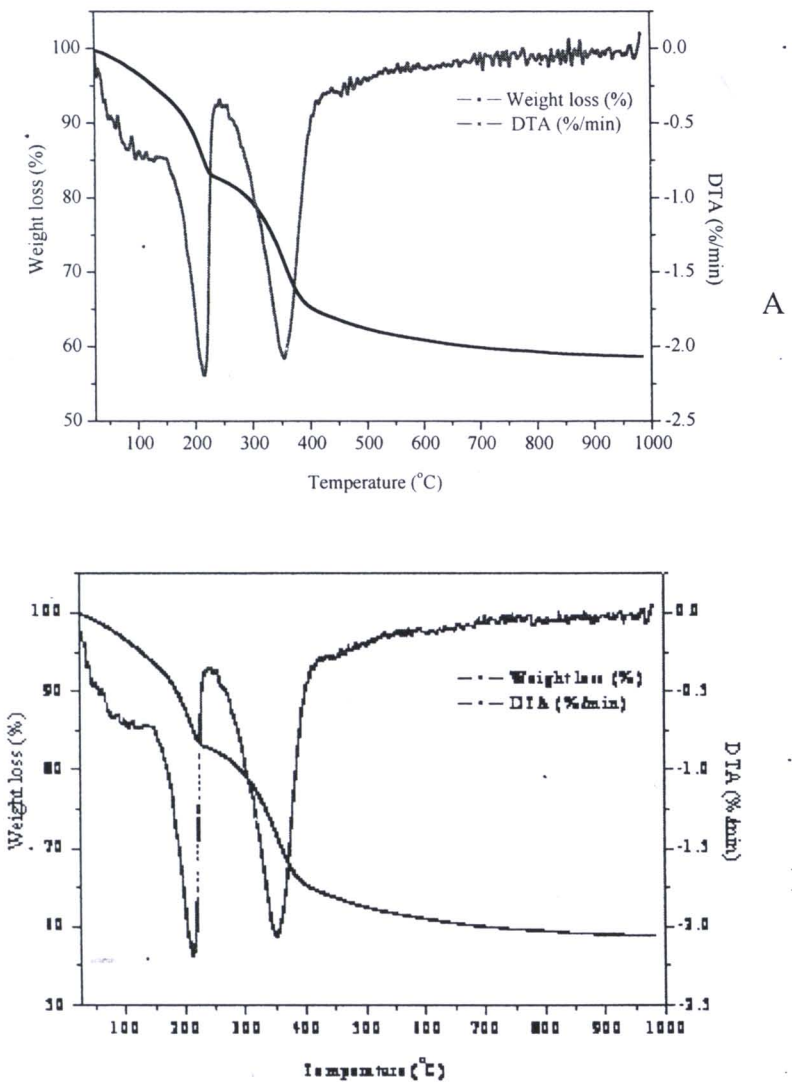
ตารางที่ 1 สัดส่วนโดยไม่ของโลหะ M^{2+}/M^{3+} ในสาร LDH ที่สังเคราะห์

ชนิดของโลหะ M^{2+} และ M^{3+}	สัดส่วนโดยไม่ของ M^{2+}/M^{3+}		สูตรของสาร LDH
	ในสารละลาย	ในสาร LDH ที่สังเคราะห์	
NiAl	3	3.1	$Ni_{3.1}Al-LDH$
	5	4.8	$Ni_{4.8}Al-LDH$
CoAl	3	3.3	$Co_{3.3}Al-LDH$
	5	4.5	$Co_{4.5}Al-LDH$
NiCr	5	5.1	$Ni_{5.1}Cr-LDH$
CoCr	5	4.8	$Co_{4.8}Cr-LDH$

เทคนิค TGA

การทดสอบการเปลี่ยนแปลงของสารเมื่อให้ความร้อน ด้วยเทคนิค TGA ระหว่างช่วงอุณหภูมิ 30-1000°C ได้ผลดังแสดงในรูปที่ 2 ภาพ TGA ตัวอย่างของ สาร $Co_{4.5}Al-LDH$ และ $Co_{4.8}Cr-LDH$ จะเห็นว่า สารเกิดการสลายตัว ในช่วงอุณหภูมิต่างๆ คือ สารเกิดการสลายตัวโดยเกิดการสูญเสียน้ำ และ carbonate และ hydroxyl ใน ช่วงอุณหภูมิ 100-150°C และ 250, 350°C ตามลำดับ สำหรับอุณหภูมิสลายตัวของสารทั้งหมดแสดงในตารางที่ 2 จากผลที่ได้นี้ ชี้ว่าการเพาสาร LDH ที่สังเคราะห์ได้ที่อุณหภูมิ

500°C เป็นเวลา 5 ชั่วโมง ภายใต้อากาศ ใช้อุปกรณ์การเพิ่มอุณหภูมิ 5°C ต่อนาที เป็นอุณหภูมิที่สูงเพียงพอที่จะทำให้สาร LDH เปลี่ยนไปเป็น mixed metal oxide



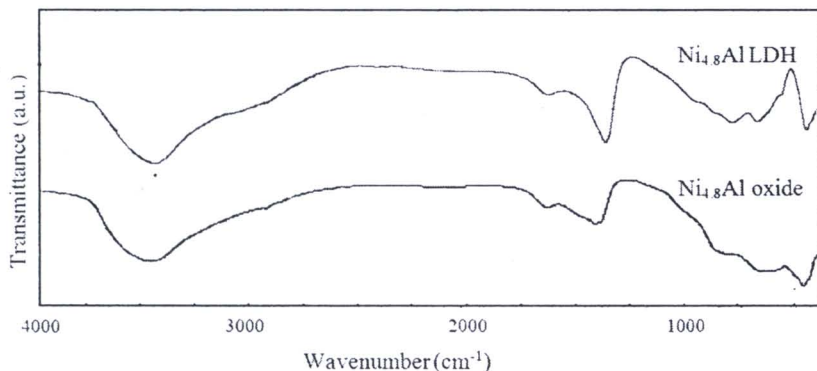
รูปที่ 2 TGA และ DTA แสดงอุณหภูมิการสลายตัวของสาร (A) CoAl-LDH (B) CoCr-LDH

ตารางที่ 2 อุณหภูมิสลายตัวสาร LDH

สาร	อุณหภูมิสลายตัว (°C)
Ni _{3.1} Al-LDH	100-130, 240, 345
Ni _{4.8} Al-LDH	100-140, 246, 345
Co _{3.3} Al-LDH	100-150, 250, 350
Co _{4.5} Al-LDH	100-150, 250, 352
Ni _{5.1} Cr-LDH	100-155, 251, 353
Co _{4.8} Cr-LDH	100-144, 248, 350

เทคนิค FT-IR

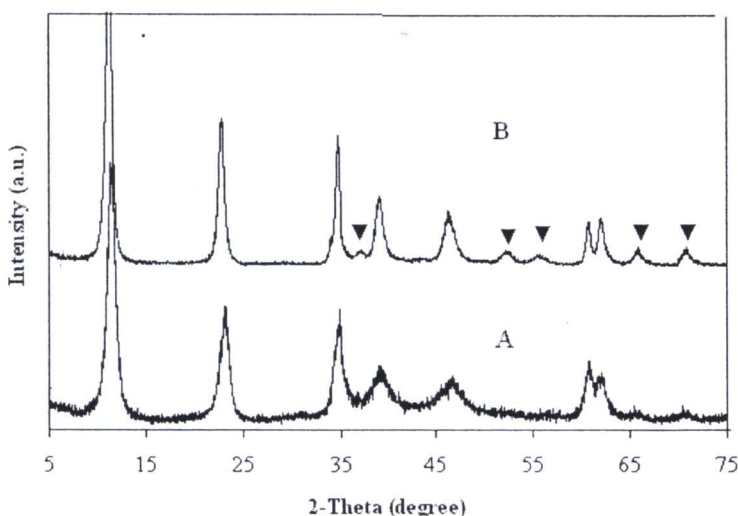
รูปที่ 3 เปรียบเทียบสเปกต์รัม FT-IR ของ $\text{Ni}_{4.8}\text{Al-LDH}$ และ $\text{Ni}_{4.8}\text{Al-oxide}$ พิกท์ต่ำแห่ง wavenumber 3400-3500 cm^{-1} (OH stretching) 1635 cm^{-1} (OH bending) และ 1385 cm^{-1} (carbonate) พิกท์ต่ำแห่ง 1635 cm^{-1} (OH bending) ได้จากการคุณชั้นนำในอากาศ หลังจากทำการเผา พิก carbonate มีความเข้มลดลง แต่ยังปรากฏอยู่ อาจเนื่องจากการคุณชั้นคาร์บอนไดออกไซด์ในอากาศ พิกในบริเวณ 850-650 cm^{-1} แสดงถึง M-O stretching [16]



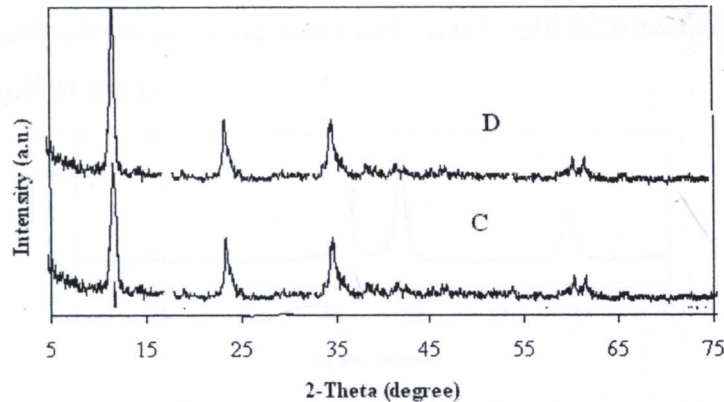
รูปที่ 3 สเปกต์รัม FT-IR ของ $\text{Ni}_{4.8}\text{Al-LDH}$ และ $\text{Ni}_{4.8}\text{Al-oxide}$

เทคนิค XRD

โครงสร้างของสาร LDH ได้แก่ $\text{Ni}_{3.1}\text{Al-LDH}$, $\text{Ni}_{4.8}\text{Al-LDH}$ และ $\text{Co}_{3.3}\text{Al-LDH}$, $\text{Co}_{4.5}\text{Al-LDH}$ แสดงได้ด้วยผลการวิเคราะห์จากเทคนิค XRD ดังแสดงในรูปที่ 4-5 ตามลำดับ สาร LDH ปรากฏพิกท์แสดงโครงสร้างแบบ layered double hydroxide (JCPDS 41-1428) [17] สำหรับตัวอย่าง $\text{Ni}_{4.8}\text{Al-LDH}$ สังเกตพบพิก unidentified ในปริมาณเล็กน้อยด้วย

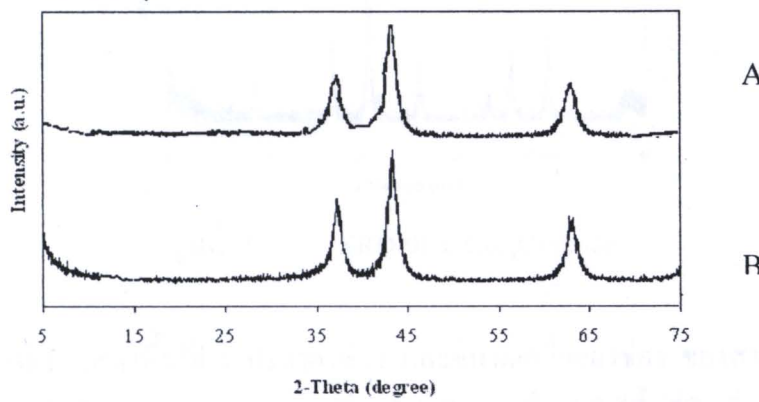


รูปที่ 4 XRD ของ (A) $\text{Ni}_{3.1}\text{Al-LDH}$ และ (B) $\text{Ni}_{4.8}\text{Al-LDH}$ กือ สาร unidentified

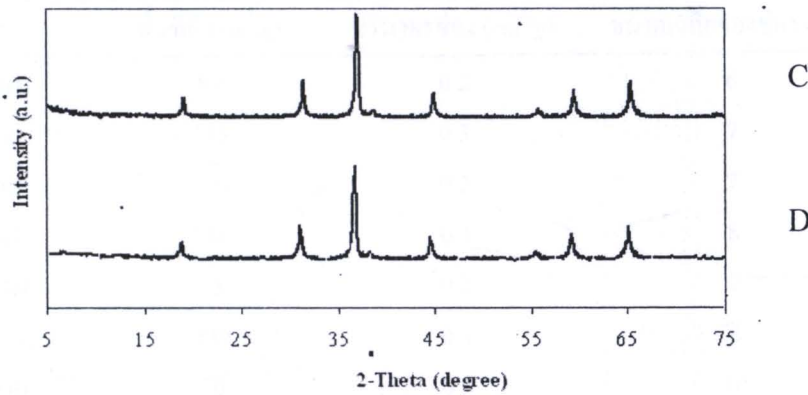


รูปที่ 5 XRD ของ (C) $\text{Co}_{3.3}\text{Al-LDH}$ และ (D) $\text{Co}_{4.5}\text{Al-LDH}$

ในรูปที่ 6-7 แสดงพีก XRD ของสาร LDH ภายหลังการเผา พบร่วมกับการเปลี่ยนแปลงโครงสร้างดังจะเห็นได้จากตำแหน่งของพีก XRD เปลี่ยนไป แสดงโครงสร้างของโลหะผสมออกไซด์แบบ spinel phase (JCPDS: 44-1159)

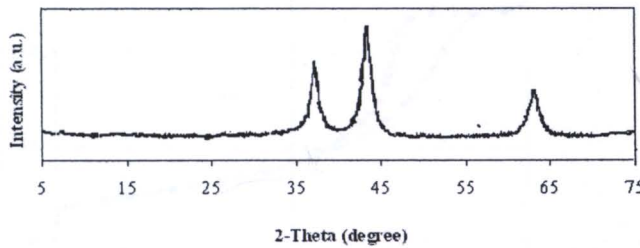


รูปที่ 6 XRD ของ (A) $\text{Ni}_{3.1}\text{Al-oxide}$ และ (B) $\text{Ni}_{4.8}\text{Al-oxide}$

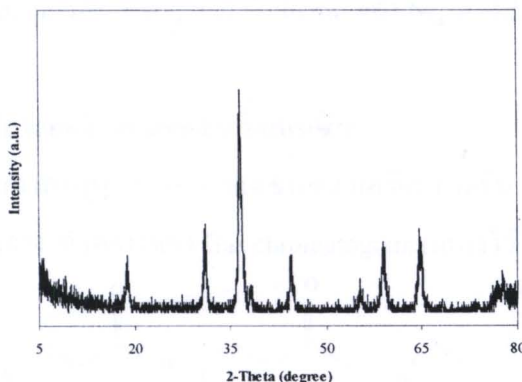


รูปที่ 7 XRD ของ (C) $\text{Co}_{3.3}\text{Al-oxide}$ และ (D) $\text{Co}_{4.5}\text{Al-oxide}$.

ในรูปที่ 8-9 แสดงพื้นที่ XRD ของสาร Ni_{5.1}Cr-LDH และ Co_{4.8}Cr-LDH ภายหลังการเผา ปราบภูมิพักในถักยอนกันเดียวกับใน NiAl-oxide และ CoAl-oxide ในรูปที่ 6-7 แสดงถึงโครงสร้างที่ เหนือกว่ากัน เมื่อจัดเร้นที่ Al ด้วย Cr



รูปที่ 8 XRD ของ Ni_{5.1}Cr-oxide.



รูปที่ 9 XRD ของ Co_{4.8}Cr-oxide.

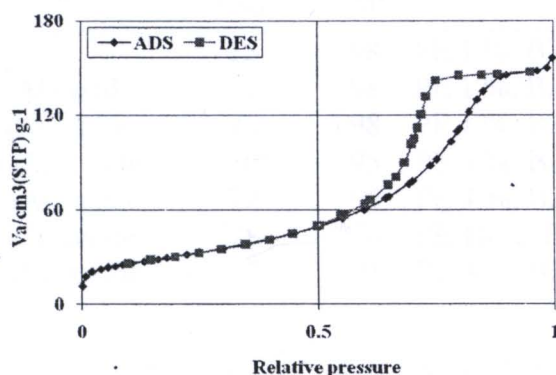
เทคนิค BET

เทคนิค BET แสดงพื้นที่ผิว ปริมาตรช่อง และขนาดเฉลี่ยของช่อง ของสาร ได้ผลดังแสดงในตารางที่ 3 การเผาทำให้โครงสร้างของ LDH เปลี่ยนไป เกิดช่องขึ้น ทำให้พื้นที่ผิวเพิ่มขึ้น

ตารางที่ 3 พื้นที่ผิว ปริมาตรช่อง และขนาดเฉลี่ยของช่อง ของสาร

สาร	พื้นที่ผิว (m ² /g)	ปริมาตรช่อง (cm ³ /g)	ขนาดเฉลี่ยของช่อง (nm)
Ni _{5.1} Al-LDH	89	0.2	6
Ni _{5.1} Al- oxide	125	0.3	7
Ni _{4.8} Al-LDH	100	0.2	7
Ni _{4.8} Al- oxide	144	0.3	8
Co _{3.3} Al-LDH	95	0.2	7
Co _{3.3} Al- oxide	139	0.3	8
Co _{4.5} Al-LDH	70	0.5	10
Co _{4.5} Al- oxide	105	0.6	11
Ni _{5.1} Cr-LDH	60	0.5	15
Ni _{5.1} Cr- oxide	71	0.6	17
Co _{4.8} Cr-LDH	50	0.5	12
Co _{4.8} Cr- oxide	41	0.6	13

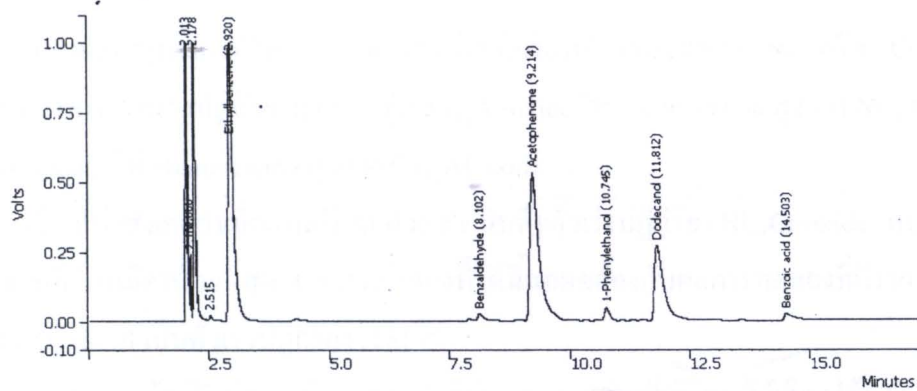
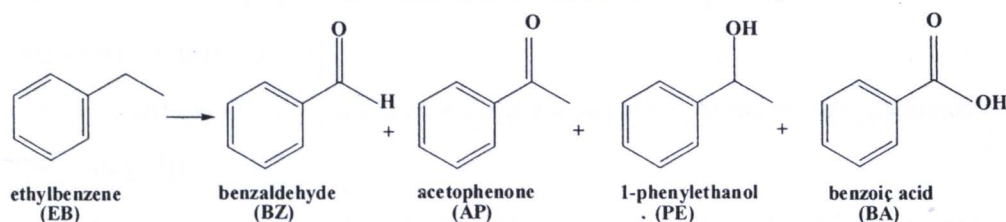
รูปที่ 10 แสดงตัวอย่างของ Adsorption และ desorption isotherm ของ $\text{Ni}_{4.8}\text{Al-LDH}$ ชั้งบวก ณ type IV



รูปที่ 10 Adsorption และ desorption isotherm ของ $\text{Ni}_{4.8}\text{Al-LDH}$.

4.2 ผลการดำเนินการของชีเดชันของเอทิลเบนซิน

ผลิตภัณฑ์ที่เกิดขึ้นจากปฏิกิริยาออกซิเดชันของเอทิลเบนซิน ที่ตรวจวิเคราะห์ได้ด้วย GC ทั้งหมด แสดงในสมการข้างล่าง ตัวอย่างของ Gas chromatogram แสดงไว้ในรูปที่ 11



รูปที่ 11 GC chromatogram ของปฏิกิริยาออกซิเดชันของเอทิลเบนซิน

เปรียบเทียบประสิทธิภาพของตัวเร่งปฏิกิริยา โลหะผสมออกไซด์แต่ละชนิด ที่ทำการทำปฏิกิริยาเดียวกัน คือ ใช้ตัวเร่งปฏิกิริยา 0.2 กรัม เอทิลเบนซิน 10 มิลลิโลมล สัดส่วนโดยโน้มของTBHP ต่อเอทิลเบนซิน = 2 ทำที่อุณหภูมิ 130°C เป็นเวลา 12 ชั่วโมง ได้ผลดังแสดงในตารางที่ 4

ตารางที่ 4 ผลของออกซิเดชันของเอทิลเบนซินเมื่อใช้ตัวเร่งปฏิกิริยานิดต่างๆ

ตัวเร่งปฏิกิริยา	Conversion (%)	Selectivity (%)	
		AP	อื่นๆ
-	15	98	PE 1 %, BZ 1 %
Ni _{3.1} Al-oxide	51	98	PE 1 %, BZ 1 %
Ni _{4.8} Al-oxide	75	98	PE 1 %, BZ 1 %
Co _{3.3} Al-oxide	50	95	PE 4 %, BZ 1 %
Co _{4.5} Al-oxide	72	95	PE 4 %, BZ 1 %
Ni _{5.1} Cr-oxide	78	76	PE 10 %, BZ 11 %, BA 3 %
Co _{4.8} Cr-oxide	65	93	PE 4 %, BZ 2 %, BA 1 %

ภาวะของการทดลอง: ตัวเร่งปฏิกิริยา 0.2 กรัม เอทิลเบนซิน 10 มิลลิโลลิตร TBHP 20 มิลลิโลลิตร อุณหภูมิ 130°ซ. เวลา 12 ชั่วโมง

AP = แอซิโทฟีโนน (acetophenone)

PE = 1-เฟนิลเอทานอล (1-phenylethanol)

BZ = เบนซ์อัลเดไฮด์ (benzaldehyde)

BA = เบนโซอิกแอซิด (benzoic acid)

จากการทดลอง สรุปได้ว่า ลำดับประสิทธิภาพของตัวเร่งปฏิกิริยา เป็นดังนี้

%conversion ของเอทิลเบนซิน:

Ni_{5.1}Cr-oxide > Ni_{4.8}Al-oxide > Co_{4.5}Al-oxide > Co_{4.8}Cr-oxide > Ni_{3.1}Al-oxide ~ Co_{3.3}Al-oxide

%selectivity ต่อแอซิโทฟีโนน:

Ni_{4.8}Al-oxide, Ni_{3.1}Al-oxide > Co_{4.5}Al-oxide, Co_{3.3}Al-oxide > Co_{4.8}Cr-oxide > Ni_{5.1}Cr-oxide

จากการทดลองที่ได้ เห็นได้ว่าตัวเร่งปฏิกิริยาที่มีปริมาณของ Ni หรือ Co ที่มากกว่า มีประสิทธิภาพในการเร่งปฏิกิริยาสูงกว่า เช่น Ni_{4.8}Al-oxide ให้ %conversion สูงกว่า Ni_{3.1}Al-oxide Co_{4.5}Al-oxide ให้ %conversion สูงกว่า Co_{3.3}Al-oxide

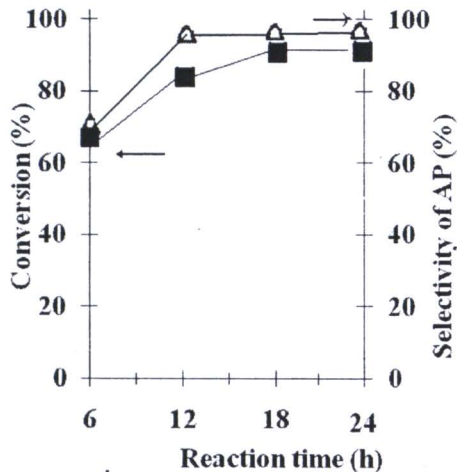
เป็นที่น่าสังเกตว่าเมื่อแทนที่ Al ด้วย Cr นั้นคือตัวเร่งปฏิกิริยา Ni_{5.1}Cr-oxide พบร่วมกับ %selectivity ต่อแอซิโทฟีโนนมีค่าน้อยที่สุด ผลการทดลองที่ได้นี้สอดคล้องกับผลการทดลองที่มีรายงานก่อนหน้า ที่ใช้ NiCr₂O₄ spinel เป็นตัวเร่งปฏิกิริยา [18]

การทดลองต่อไปคือ ทำการศึกษาตัวแปรที่มีผลต่อการเกิดปฏิกิริยา ได้เลือกใช้ตัวเร่งปฏิกิริยา Ni_{4.8}Al-oxide เนื่องจากมีประสิทธิภาพสูงที่สุด ผลการทดลองที่ได้แสดงดังต่อไปนี้

4.2.1 เวลาของการทำปฏิกิริยา

ในรูปที่ 12 แสดงผลของการแปรเปลี่ยนปริมาณของตัวเร่งปฏิกิริยา Ni_{4.8}Al-oxide โดยใช้ตัวเร่งปฏิกิริยา Ni_{4.8}Al-oxide 0.2 กรัม สัดส่วนโดยไมลิกรัมของสารออกซิไดซ์ต่อเอทิลเบนซิน = 2 และใช้อุณหภูมิ 90°ซ. ที่ 6 ชั่วโมง % conversion มีค่า = 65 และ %selectivity = 70 ที่ 12 ชั่วโมง ได้ 82 %

conversion, 98 % selectivity ค่าทั้งสองเข้าใกล้ค่าคงที่ คือ 87 % conversion, 98 % selectivity เมื่อเวลาผ่านไป 18 ชั่วโมง และไม่เปลี่ยนแปลงต่อไปอีก ที่เวลา 24 ชั่วโมง

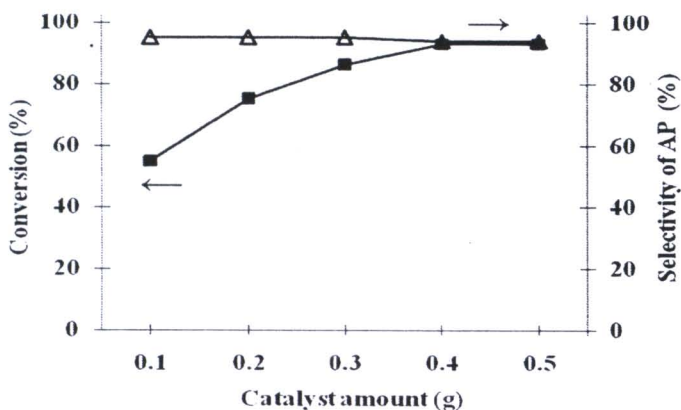


รูปที่ 12 ผลของเวลาต่อ %conversion และ %selectivity ต่อแอซิโตฟิโนน

(ตัวเร่งปฏิกิริยา $\text{Ni}_{4.8}\text{Al}$ -oxide 0.2 กรัม เอทิลเบนซิน 10 มิลลิโลลิตร TBHP 20 มิลลิโลลิตร อุณหภูมิ 90°ซ)

4.2.2 ปริมาณของตัวเร่งปฏิกิริยา

ในรูปที่ 13 ใช้สัดส่วนโดยไมลของสารออกซิไดซ์ต่อเอทิลเบนซิน = 2 และใช้อุณหภูมิ 130°ซ เวลาในการทำปฏิกิริยา 12 ชั่วโมง แต่/perเปลี่ยนปริมาณของตัวเร่งปฏิกิริยา $\text{Ni}_{4.8}\text{Al}$ -oxide ผลการทดลองพบว่าเมื่อปริมาณตัวเร่งปฏิกิริยาเพิ่มขึ้นจาก 0.1 ถึง 0.5 กรัม % conversion เพิ่มขึ้นตามลำดับ เมื่อใช้ปริมาณตัวเร่งปฏิกิริยา 0.1, 0.2, 0.3, 0.4 % conversion = 58, 76 และ 84 ตามลำดับ conversion จะเพิ่มขึ้นถึง 98 % และคงที่เมื่อใช้ปริมาณของตัวเร่งปฏิกิริยา 0.4 กรัม สำหรับ selectivity ต่อแอซิโตฟิโนน มีค่าสูง = 98 %selectivity ที่ไม่แตกต่างกันนัก (97-98 %) เมื่อใช้ปริมาณของตัวเร่งปฏิกิริยา ในช่วง 0.1 ถึง 0.5 กรัม

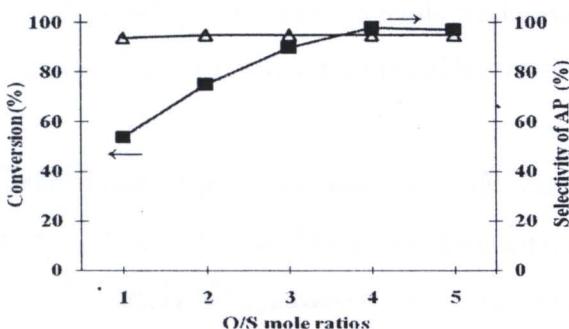


รูปที่ 13 ผลของปริมาณของตัวเร่งปฏิกิริยาต่อ %conversion และ %selectivity ต่อแอซิโตฟิโนน
(เอทิลเบนซิน 10 มิลลิโลลิตร TBHP 20 มิลลิโลลิตร อุณหภูมิ 130°ซ เวลา 12 ชั่วโมง)

4.2.3 สัดส่วนโดยไมลของสารออกซิไดซ์ต่อเอทิลเบนซิน

ทำการทดลองโดยใช้ ปริมาณของตัวเร่งปฏิกิริยา $\text{Ni}_{4.8}\text{Al}$ -oxide 0.2 กรัม อุณหภูมิ 130°ช. เวลาในการทำปฏิกิริยา 12 ชั่วโมง แต่แปรเปลี่ยนสัดส่วนโดยไมลของสารออกซิไดซ์ต่อเอทิลเบนซิน

ในรูปที่ 14 เมื่อใช้สัดส่วนโดยไมลของสารออกซิไดซ์ต่อเอทิลเบนซิน (O/S) มีค่าเท่ากับ 1, 2, 3 พบว่า ได้ % conversion = 53, 76, 88 ตามลำดับ สัดส่วนโดยไมลของสารออกซิไดซ์ต่อเอทิลเบนซิน ที่เหมาะสมที่สุด คือ 4 จะได้ %conversion = 99 สำหรับ %selectivity ต่อแอซิโตฟีโนน มีค่าสูง (98 %) และพบว่าเมื่อใช้สัดส่วนโดยไมลของสารออกซิไดซ์ต่อเอทิลเบนซินมากขึ้น ก็ให้ค่า %selectivity ที่ไม่แตกต่างกัน



รูปที่ 14 ผลของสัดส่วนโดยไมลของสารออกซิไดซ์ต่อเอทิลเบนซิน (O/S) ต่อ %conversion และ %selectivity

(ตัวเร่งปฏิกิริยา $\text{Ni}_{4.8}\text{Al}$ -oxide 0.2 กรัม เอทิลเบนซิน 10 มิลลิโลล อุณหภูมิ 130°ช. เวลา 12 ชั่วโมง)

4.2.4 อุณหภูมิของการทำปฏิกิริยา

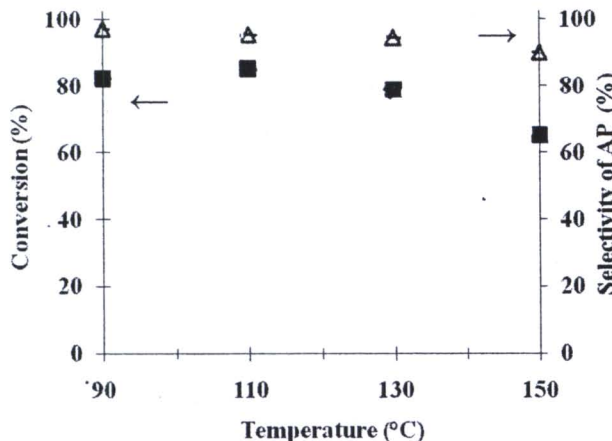
ในรูปที่ 15 แสดงผลของอุณหภูมิ โดยใช้ตัวเร่งปฏิกิริยา $\text{Ni}_{4.8}\text{Al}$ -oxide 0.2 กรัม สัดส่วนโดยไมลของสารออกซิไดซ์ต่อเอทิลเบนซิน = 2 เวลาในการทำปฏิกิริยา 12 ชั่วโมง

ที่อุณหภูมิ 90 และ 110°ช. % conversion = 82 และ 86 ตามลำดับ ซึ่งสูงกว่าค่าที่ได้ที่อุณหภูมิ 130 และ 150°ช. ซึ่งค่า % conversion ลดลง เป็น 76 และ 65 ดังนั้นจึงสรุปได้ว่า อุณหภูมิที่เหมาะสมสำหรับออกซิเดชันของเอทิลเบนซิน คือ 110°ช.

สำหรับ %selectivity ต่อแอซิโตฟีโนน ก็แสดงแนวโน้มเช่นเดียวกันกับ %conversion %selectivity ลดลงจาก 96-98% ที่ 90-110°ช. เหลือ 91 % ที่ 150°ช.



สำนักงานคณะกรรมการวิจัยแห่งชาติ
ห้องสมุดงานวิจัย
วันที่..... 25.08.2555
เลขทะเบียน..... 246353
เลขเรียกหนังสือ.....



รูปที่ 15 ผลของอุณหภูมิต่อ %conversion และ %selectivity ต่อแอซิโทฟีโนน
(ตัวเร่งปฏิกิริยา $\text{Ni}_{4.8}\text{Al}$ -oxide 0.2 กรัม เอทิลเบนซิน 10 มิลลิโมล TBHP 20 มิลลิโมล เวลา 12 ชั่วโมง)

เมื่อพิจารณาปัจจัยที่มีผลต่อปฏิกิริยาแต่ละอย่างดังกล่าวข้างต้น จึงได้ทำการทดลองโดยใช้ภาวะดังนี้ ตัวเร่งปฏิกิริยา $\text{Ni}_{4.8}\text{Al}$ -oxide 0.2 กรัม สัดส่วนโดยไมลของสารออกซิไดซ์ต่อเอทิลเบนซิน = 4 อุณหภูมิ 110°ซ. เวลา 9 ชั่วโมง พบว่า ได้ % conversion = 98, % selectivity = 98

เมื่อเปรียบเทียบผลที่ได้จากการวิจัยนี้กับงานที่มีรายงานที่ใช้ตัวเร่งปฏิกิริยาโลหะออกไซด์ ซึ่งเป็นระบบ heterogeneous [18] เช่นเดียวกัน จะเห็นได้ว่า ผลของงานวิจัยนี้ ให้ค่า %conversion และ %selectivity ที่สูงกว่า ในกรณีที่ใช้ตัวเร่งปฏิกิริยาเป็น $\text{Cu}_{1-x}\text{Ni}_x\text{Cr}_2\text{O}_4$, $x = 0, 0.25, 0.5, 0.75$ and 1.0 ซึ่งทำปฏิกิริยาออกซิเดชันของเอทิลเบนซินด้วย TBHP และใช้ตัวทำละลายเป็น acetonitrile ที่ 70°ซ. เป็นเวลา 8 ชั่วโมง ได้ %conversion = 56 % selectivity ต่อแอซิโทฟีโนน = 69 โดยพบว่าเกิดผลิตภัณฑ์เป็น 1-phenylethanol ร่วมด้วย

นอกจากนี้ หากเปรียบเทียบค่า selectivity ที่ได้จากการนี้ กับงานวิจัยที่ใช้ mesoporous Mn-MCM-41 เป็นตัวเร่งปฏิกิริยา และใช้ TBHP [4] เป็นสารออกซิไดซ์ เช่นเดียวกันกับงานวิจัยนี้ ก็ปรากฏว่า ตัวเร่งปฏิกิริยาโลหะผสมออกไซด์ของงานวิจัยนี้ ให้ค่า selectivity ที่สูงกว่า mesoporous Mn-MCM-41 ซึ่งให้ selectivity ต่อแอซิโทฟีโนน = 40 %

4.3 การทำปฏิกิริยาออกซิเดชันของเอทิลเบนซินด้วย ไอโอดรเจนเปอร์ออกไซด์

เมื่อใช้สารออกซิไดซ์เป็น H_2O_2 aqueous แทน TBHP aqueous ทำการทดลอง ที่ภาวะการทำปฏิกิริยาเดียวกันกับที่ใช้ในการนีของ TBHP (ในตารางที่ 4) คือ ใช้ตัวเร่งปฏิกิริยา 0.2 กรัม เอทิลเบนซิน 10 มิลลิโมล สัดส่วนโดยไมลของสารTBHP ต่อเอทิลเบนซิน = 2 แต่ทำที่อุณหภูมิ 80°ซ. เนื่องจากหากใช้อุณหภูมิสูงถึง 110°ซ. จะสลายตัวมากเกินไป ใช้เวลาทำปฏิกิริยา 12 ชั่วโมง ได้ผลดังแสดงในตารางที่ 5 ซึ่งแสดงให้เห็นว่า H_2O_2 เป็นสารออกซิไดซ์ที่ให้ค่า %conversion และ %selectivity ต่อแอซิโทฟีโนน ต่ำกว่าการใช้ TBHP โดยผลิตภัณฑ์อื่นที่เกิดขึ้นด้วย ได้แก่ 1-phenylethanol และ benzaldehyde มีราย

งานวิจัยก่อนหน้านี้ที่ใช้ copper ทำการ immobilize บนสารประเกทไฮดรอกไซด์ เร่งปฏิกิริยาออกซิเดชันของเอทิลเบนซิน [19] ซึ่งใช้สารออกซิไดซ์สองชนิดนี้ และพบแนวโน้มเช่นเดียวกันกับในงานวิจัยนี้ คือได้ประสิทธิภาพการเร่งปฏิกิริยาของ TBHP (48% conversion) สูงกว่าของ H_2O_2 (12% conversion)

ตารางที่ 5 ผลของออกซิเดชันของเอทิลเบนซินเมื่อใช้สารออกซิไดซ์เป็น H_2O_2

ตัวเร่งปฏิกิริยา	Conversion (%)	Selectivity (%) ต่อ acetophenone
Ni _{3.1} Al -oxide	20	94
Ni _{4.8} Al -oxide	26	94
Co _{3.3} Al -oxide	21	92
Co _{4.5} Al -oxide	30	90
Ni _{5.1} Cr -oxide	32	70
Co _{4.8} Cr -oxide	22	90

ภาวะของการทดลอง: ตัวเร่งปฏิกิริยา 0.2 กรัม สัดส่วนของ ต่อ เอทิลเบนซิน = 2 อุณหภูมิ 80°ซ
เวลา 12 ชั่วโมง

4.4 การนำกลับมาใช้ใหม่

ตาม หัวข้อ 3.5 หลังจากใช้ในการทำปฏิกิริยาแล้ว ตัวเร่งปฏิกิริยาถูก นำมาใช้ซ้ำ ผลปรากฏว่า %conversion ลดลงเล็กน้อย จาก 98% เป็น 96, 93% หลังจากการใช้ครั้งที่ 1, 2 และ 3 ตามลำดับ

4.5 เสถียรภาพของตัวเร่งปฏิกิริยา

สำหรับเสถียรภาพของตัวเร่งปฏิกิริยาโดยทำการตรวจวิเคราะห์ filtrate หลังจากการองตัวเร่งปฏิกิริยาออกบัฟาร์อ่อน ผลการวิเคราะห์หาปริมาณโลหะด้วยเทคนิค ICP ไม่พบการหลุดออกของโลหะ

4.6 กลไกของปฏิกิริยาออกซิเดชัน

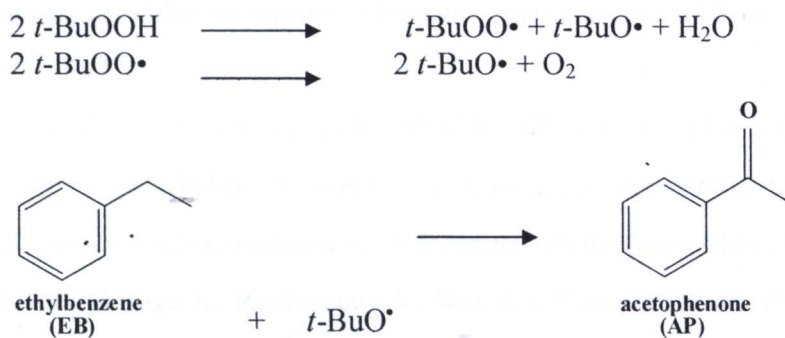
เพื่อพิสูจน์ว่า กลไกการเกิดปฏิกิริยาออกซิเดชันของเอทิลเบนซินที่ใช้ตัวเร่งปฏิกิริยาโลหะผสมออกไซด์ในงานวิจัยนี้เกิดผ่าน radical จึงได้ทดลองเติมสาร radical trap คือ hydroquinone ในปริมาณเท่ากับเอทิลเบนซิน ใช้ภาระการดังนี้ ตัวเร่งปฏิกิริยา 0.2 กรัม สัดส่วน โดยไม่ลดของสารออกซิไดซ์ต่อเอทิลเบนซิน = 2 อุณหภูมิ 130°ซ เวลา 12 ชั่วโมง ผลการทดลองพบว่า %conversion ลดลงครึ่งหนึ่ง เหลือประมาณ 50% ดังแสดงในตารางที่ 6

ตารางที่ 6 ผลของการซึ่ดชันของเอทิลเบนซินเมื่อเติม radical trap

ตัวเร่งปฏิกิริยา	Conversion (%)	
	ก่อนเติม	หลังเติม
Ni _{3.1} Al -oxide	51	25
Ni _{4.8} Al -oxide	75	35
Co _{3.3} Al -oxide	50	24
Co _{4.5} Al -oxide	72	33
Ni _{5.1} Cr -oxide	78	37
Co _{4.8} Cr -oxide	65	31

ภาวะของการทดลอง: ตัวเร่งปฏิกิริยา 0.2 กรัม เอทิลเบนซิน 10 มิลลิโลลี TBHP 20 มิลลิโลลี อุณหภูมิ 130 °C เวลา 12 ชั่วโมง

จากการทดลองที่แสดงในตารางที่ 4 สรุปได้ว่า ปฏิกิริยาออกซิเดชันของเอทิลเบนซินเร่งปฏิกิริยาด้วยสารโลหะผสมออกไซด์ที่สังเคราะห์ขึ้นนี้ เกิดผ่าน radical บางส่วน ดังแสดงในปฏิกิริยา การเกิด radical ข้างล่าง และมีส่วนที่ไม่เกิดผ่าน radical ซึ่งอาจเกิดผ่านสารมัธยัณฑ์ (intermediate) ประเภท metal-oxo



5. สรุปผลการวิจัย

ผลการวิจัยนี้ แสดงให้เห็นว่า สาร LDH (layered double hydroxide) เป็นสารตั้งต้น (precursor) ที่เหมาะสมในการสังเคราะห์โลหะออกไซด์ที่มีพื้นที่ผิวสูง เหมาะสมสำหรับใช้เป็นตัวเร่งปฏิกิริยา ออกซิเดชันของเอทิลเบนซิน ผลการศึกษาปัจจัยต่างๆ ที่มีผลต่อการเกิดปฏิกิริยา พบว่า ปัจจัยที่มีผลต่อประสิทธิภาพการเร่งปฏิกิริยาได้แก่ ชนิดของโลหะ ปริมาณของโลหะแทรนซิชันในตัวเร่งปฏิกิริยา ปริมาณของตัวเร่งปฏิกิริยา ปริมาณของสารออกไซด์ อุณหภูมิ และเวลาในการทำปฏิกิริยา โลหะออกไซด์ที่มีองค์ประกอบเป็น Ni มีประสิทธิภาพดีกว่า Co ปัจจัยที่มีผลต่อ selectivity ต่อแอลูฟิโนน ได้แก่ ชนิดของโลหะ และเวลาในการทำปฏิกิริยา Ni ให้ selectivity สูงกว่า Co ขณะที่ Al ให้ selectivity สูงกว่า Cr